

MAGNIT MAYDONDAGI ELEKTRONLAR HARAKATI, LANDAU
KVANTLASHISH SHARTLARI

Muminov Islomjon Arabboyevich

Farg'ona davlat universiteti, Fizika-matematika fanlari bo'yichafalsafa doktori (PhD)

ima220790@mail.com

Saidjonova Muqaddam Sobirjon qizi

Farg'ona transport va servis texnikumi, fizika fani o'qituvchisi

Annotatsiya: Magnit maydon ta'sirida zarralarning garmonik kvant ossilatorlariga o'xshab harakatlanishi, yarimo'tkazgichlarni energetik sohalari o'rganilgan.

Kalit so'zlar: Gamiltonian vektor potentsiali, kinetik energiya va impuls operatori, kvantlashgan energiya.

Abstract: The movement of particles under the influence of a magnetic field like harmonic quantum oscillators, energy fields of semiconductors have been studied.

Key words: Hamiltonian vector potential, kinetic energy and momentum operator, quantized energy.

KIRISH

Erkin elektron Gamiltonian vektor potentsiali A bo'lsa

$$H_0 = \frac{1}{2m} (\mathbf{p} - e\mathbf{A})^2, \quad (1)$$

bu yerda e va m mos ravishda elektron zaryadi va massasi. Plank doimiysi \hbar ga o'rnatiladi. \mathbf{A} vektor potentsiali shunday tanlab olamiz, $\nabla \times \mathbf{A} = \mathbf{B}$ bu yerda \mathbf{B} – magnit maydon induksiya vektori. Ushbu tezisda biz perpendikulyar magnit maydon mavjud bo'lgan ikki o'lchovli tizimlarga e'tibor qaratamiz. Shuning uchun $\mathbf{B} = B\hat{z}$ kanonik holat va impuls operatorlarini ikki o'lchovda tuzib quyidagicha belgilash kiritamiz: $\mathbf{r} = (x, y)$ va $\mathbf{p} = (p_x, p_y)$. Hisoblash natijalarida quyidagi $\mathbf{a} \times \mathbf{b} \equiv \varepsilon_{ij} a^i b^j$, (odatiy vektor) ifoda e'tiborga olindi, bu yerda ikki o'lchamdagi ε – Levi - Chivita belgisi bo'lib, u quyidagi matritsa qiymatiga ega: $\varepsilon_{01} = -\varepsilon_{10} = 1$, $\varepsilon_{00} = \varepsilon_{11} = 0$. Tenglamadagi Gamiltonian kinetik energiya va impuls kattaligi bilan quyidagicha ifodalanadi, $\boldsymbol{\pi} \equiv \mathbf{p} - e\mathbf{A}$. Komponentlari $\boldsymbol{\pi}$ nodiagonal kommutatorga ega:

$$[\pi_a, \pi_b] = ie(\partial_a A_b - \partial_b A_a) = ieB\varepsilon_{ab} \equiv i\ell_B^{-2}\varepsilon_{ab}, \quad (2)$$

bu yerda biz $\ell_B \equiv \frac{1}{\sqrt{eB}}$ uzunlikdagi magnitni tanlab oldik. Ushbu kanonik kommutatsiya munosabati kinetik momentning tashkil etuvchilari o'rtasidagi noaniqlik munosabatiga olib keladi: bir vaqtning o'zida o'lchash kattaliklari π_x va π_y aniq bo'lishi mumkin emas, bu impuls maydonini "loyqa" qiladi. Xuddi shu narsa haqiqiy maydonga tegishli: Hisoblash mumkin bo'lgan koordinatalarni quyidagicha tanlab olsak

$$R^a \equiv r^a + \ell_B^2 \varepsilon^{ab} \pi_b, \quad (3)$$

Ularning chegaraviy qiymatlarini

$$[R^a, \pi_b] = 0, \quad [R^a, R^b] = -i\ell_B^2 \varepsilon^{ab} \quad (4)$$

koordinatalarini $\xi^a \equiv -\ell_B^2 \varepsilon^{ab} \pi_b$ aniqlash qulay, shuning uchun holat operatoriga $r^a = R^a + \xi^a$ kattalik to'g'ri keladi. Bu aniq intuitiv talqinga ega: xuddi klassik masalada bo'lgani kabi, elektronlar markaz va radiusli siklotron orbitalarida harakat qiladi; markazning holati ahamiyatsiz (real fazoviy potensial bo'lmasa), shuning uchun R^a tenglamada Gamiltonianda ko'rinmaydi. Boshqa tomondan radius to'g'ridan-to'g'ri tezlikka va kinetik energiyaga bog'liq. Klassik muammodan farqli o'laroq, kvant mexanikasi ham yo'naltiruvchi markazni, ham siklotron koordinatalarini ℓ_B aniqlikda taxmin qiladi.

MUHOKAMA

Tenglamadagi Gamiltonian almashtirish orqali hal qilish mumkin

$$\xi^x \mapsto \ell_B \frac{a-a^\dagger}{i\sqrt{2}}, \quad \xi^y \mapsto \ell_B \frac{a+a^\dagger}{\sqrt{2}}, \quad R^x \mapsto \ell_B \frac{b+b^\dagger}{\sqrt{2}}, \quad R^y \mapsto \ell_B \frac{b-b^\dagger}{i\sqrt{2}}, \quad (5)$$

bu yerda a , a^\dagger va b , b^\dagger kanonik takrorlanuvchi o'zgaruvchilar bo'lib, $[a, a^\dagger] = [b, b^\dagger] = 1$, $[a, b] = [a, b^\dagger] = 0$ qiymatlarni qabul qiladi. Gamiltonian garmonik ossilatorga aylanadi,

$$H_0 = \omega_c \left(a^\dagger a + \frac{1}{2} \right), \quad (6)$$

bu yerda $\omega_c \equiv 1/m\ell_B^2 = eB/ms$ siklotron chastotasidir. Masalaning xususiy yechimi

$$E_{N,k} = \omega_c (N + 1/2), \quad |N, k\rangle \equiv \frac{(a^\dagger)^N (b^\dagger)^k}{\sqrt{N!k!}} |0\rangle. \quad (7)$$

ko'rinishda bo'lib, $E_{N,k}$ –energiya faqat N ga bog'liq; Shunday qilib, har bir energiya darajasi *makroskopik* degeneratsiyaga uchraydi. \mathbf{k} to'lqin vektori orqali parametrlangan degeneratsiya natijasi asosan yo'naltiruvchi markazning barcha mumkin bo'lgan holatlaridan kelib chiqadi. Kommutatsion hisoblashlar natijasida $\mathcal{O}(\ell_B^2)$ har bir tarmoqlarda yo'naltiruvchi markaz fazosida kamaytirilmaydigan maydonni egallaydi, bu esa cheklangan tizimlarda degeneratsiyani cheklaydi. Cheklangan maydonga A vektor potensial hususiy qiymatga ega bo'lgandagina degeneratsiya mavjud

$$g = \frac{A}{2\pi\ell_B^2} = \frac{AB}{2\pi/e} = \frac{\Phi}{\Phi_0} \equiv N_\varphi. \quad (8)$$

Biz sistemani karakteristikasi bo'lgan magnit oqimini $\Phi = BA$ va magnit oqimining kvantini $\Phi_0 \equiv 2\pi/e$ kattaliklarni kiritdik. Zaryadlarning sochilishi sistema orqali o'tadigan magnit oqim kvantlari soni N_φ ga teng. Bu Dirakning yakkalangan kvantlash sharti tufayli juda kichik qiymatlari uchun butun son bo'lishi mumkin.

N_φ qatlamli zaryadsizlanish o'z fazosida tok tashuvchilarning energiyasi $E = \omega_c \left(N + \frac{1}{2} \right)$ ifoda bilan hisoblanib, bundagi N^* kattalikni *Landau darajasi* (Ld) deb aytiladi. Bu Hermit polinomialari nuqtai nazaridan yuqoridagi o'z holatlarini ifodalovchi orbitallar uchun aniq shakllarni yozish imkonini beradi. Biz, xususan eng past $|N, k\rangle$ Landau darajasiga (Ld) e'tibor qaratamiz: bu yerda $N = 0$

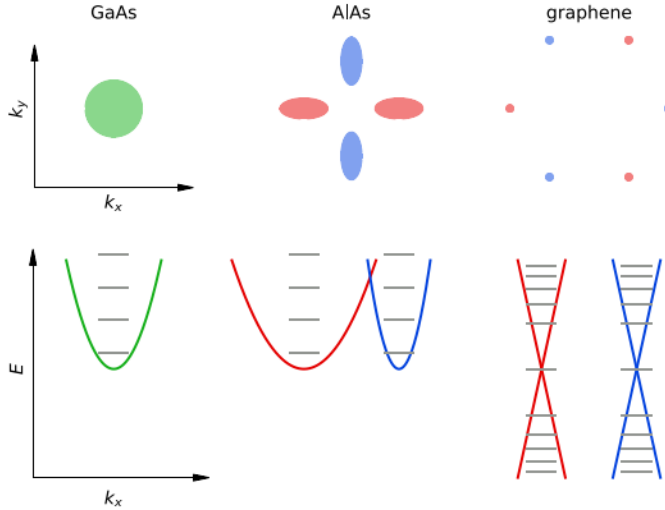
$$\psi_{0,n}(x, y) = \frac{1}{\sqrt{\pi^{1/2}L}} e^{ik_n y} \exp \left(-\frac{1}{2\ell_B^2} (x - k_n \ell_B^2)^2 \right), \quad k_n = \frac{2\pi}{L} n. \quad (9)$$

Yuqoridagi yechimni bir qator yarimo'tkazgichlarda qo'llash mumkin. Masalan GaAs, AlAs va grafen va boshqalar. Ular kvadratik dispersiyali xususiyatga ega yarimo'tkazgichlar bo'lib, izotropik Gamiltonianni qabul qildi, bu 2D galliy arsenid (GaAs) kvant

chuqurlaridagi elektron gazlar uchun mos keladi. Bu yerda biz yana ikkita qiziqarli holatni ko'rib chiqamiz: alyuminiy arsenid (*AlAs*) ikkita anizotropik, kvadratik dispersiyali sohaga ega va grafen esa ikkita izotropik, lekin chiziqli dispersiyali tarmoqlarga egadir.

NATIJALAR

Bu materiallarning Fermi sathlari va dispersiyalari 1-rasmda tasvirlangan.



1-rasm: Fermi sathi (yuqori) va dispersiyasi (pastki) *GaAs*, *AlAs* va grafenning sxemalari. Xuddi shu rangdagi fermi chuqurliklari o'zaro tugun kesishgan tarmoqlari bilan bog'liq; grafenning "fermi chuqurlari" nuqtalardir (vizual ravshanlik uchun kattalashtirilgan). Har bir dispersiya uchun Landau darajasidagi energiyalar kulrang gorizontall segmentlar bilan ifodalangan. Landau darajasi *AlAs* va grafen ikki marta tarmoq ajralishiga ega. Grafenning L_d spektri zarracha - teshik simmetrik va nol energiyaga ega

Uning ikkita tarmog'ini kinetik energiya bilan quyidagicha tasvirlash mumkin

$$H_{0,i} = \frac{1}{2m} (\alpha_i p_x^2 + \alpha_i^{-1} p_y^2), \quad (10)$$

bu yerda $i = \pm$ energetik sohalarni belgilab beradi va α_i har bir sohaning anizotropiyasini harakterlaydi. *AlAs* simmetriyasi buni belgilaydi $\alpha_+ = \alpha_-^{-1}$, $\alpha_+ \approx 2.3$ (ya'ni massa anizotropiyasi $m_{yy,+}/m_{xx,+} = \alpha_+^2 \approx 5.5$). Yuqori magnit maydonda *GaAs* (izotrop) Landau darajalari asosida Gamiltonian tenglamasini qo'llash mumkin va xususiy yechimni hal qilish mumkin. Buning o'rniga "hajmiy kichraygan energiya" ni aniqlash osonroq va tushunarliroqdir.

$$a_\alpha \equiv \frac{\alpha^{1/2} \pi_x + i \alpha^{-1/2} \pi_y}{\sqrt{2} \ell_B}, \quad a_\alpha^\dagger \equiv \frac{\alpha^{1/2} \pi_x - i \alpha^{-1/2} \pi_y}{\sqrt{2} \ell_B}, \quad (11)$$

Har biri bozonik $\alpha > 0$ uchun kommutatsiya munosabatini qanoatlantiradi(10). α har bir soha hosili uchun mos qiymat bilan

$$H_{0,i} = \omega_c \left(a_{\alpha_i}^\dagger a_{\alpha_i} + \frac{1}{2} \right), \quad (12)$$

$E_N = \omega_c (N + 1/2)$ energiyasi bir xil spektrga ega. *GaAs*ning energetik tarmoqlardagi o'z holatlari $i = \pm$ chiziqli almashtirish $(x, y) \mapsto \left(\alpha_i^{\frac{1}{2}} x, \alpha_i^{-\frac{1}{2}} y \right)$ belgilash bilan bog'langan. E'tibor bering, bu yerda ω_c siklotron chastotasi har ikkala soha uchun bir xil bo'lgan

massalarning $\omega_c = eB(m_{xx}m_{yy})^{-1/2}$ o'rtacha geometrik qiymati orqali aniqlanadi. Shunday qilib, har bir Landau energiyasi E_N "tarmoq tenglikspini" tufayli $i = \pm$ ikki karrali aynigan bo'ladi.

Brillouen zonasida ajratilgan nuqtalarda past - energiya dispersiyasi chiziqli bo'lib, relativistik zarrachaning massasiz dispersiyasiga o'xshaydi: $\mathcal{E} \sim \pm v|\delta k|$, bu yerda v Fermi zarralarining tezligi. Dirak nuqtalari olti burchakli Brillouen zonasining oltita uchida joylashgan; ulardan ikkitasi K va K' , o'zaro panjara tarmoqlarida ekvivalent emas. Hozircha shunday bir Dirak nuqtasiga e'tibor qarataylik, aytaylik K kichik momentlarda dispersiyani chiziqli qilish mumkin bo'lsin

$$H_0, K = v\mathbf{p} \cdot \boldsymbol{\sigma} = v \begin{pmatrix} 0 & p_x - ip_y \\ p_x + ip_y & 0 \end{pmatrix}, \quad (13)$$

bu yerda ichki indeks pastki panjara psevdospinini ifodalaydi $\boldsymbol{\sigma}$ va v lar esa Fermi tezligidir. Perpendikulyar magnit maydonni vujudga keltirish va (12) tenglamadan foydalanish quyidagi natijaga olib keladi

$$H_0, K = \sqrt{2} \frac{v}{\ell_B} (a\sigma^+ + a^\dagger\sigma^-), \quad (14)$$

ularning xos qiymatlari oson topiladi, masalan, kvadrat H diagonal ekanligini kuzatish orqali. Biri zarracha -ikkinchisi esa teshik simmetrik spektrini oladi,

$$E_n = \frac{v}{\ell_B} \sqrt{2|n|} \text{sign}(n), \quad (15)$$

bunda ℓ_B -musbat va manfiy cheksizlikgacha cho'zilgan o'z qiymatlari bilan hisoblanadi, aniq zarracha esa - teshik simmetriyasi bilan (katta manfiy energiya dispersiyani chiziqli qilish juda muhimdir) o'z xususiyatida qoladi. K va K' ikkala energetik sohani ham hisobga olish uchun, biz qo'shimcha τ ikkilangan spinni e'tiborga olish kerak. Keyin Gamiltonianni umumiy holda quyidagicha tavsiflash mumkin

$$H_0 = v(p_x\sigma^x\tau^0 + p_y\sigma^y\tau^z), \quad (16)$$

H_0 -bu ikki tarmoqning qarama-qarshi shaffofmasligini hisobga oladi. Natijada ikki marta sochilishga uchraydi.

XULOSA

Boshqacha aytganda, Briullen zonasiga ta'sir qilgandan so'ng, tarmoq va pastki panjara psevdospinlari bittaga birlashadi. Tarmoqlararo tarqalish, $\propto \tau^x va \tau^y$ -masalan, tartibsizlik tufayli yuzaga keladigan diagonal dan tashqari kattaliklarni kiritadi.

ADABIYOTLAR RO'YXATI:

1. Baxromovich A. B., Alijon o'g'li M. A. YARIMO'TKAZGICH ASOSIDAGI TURLI STRUKTURALI NANOTRUBKALAR Muminov Islomjon Arabboyevich. - 2022.
2. Ахмедов Б., Муминов И., Хомиджонов Д. УРАВНЕНИЯ ШРЕДИНГЕРА ДЛЯ ДВУМЕРНОГО ВОЛНОВОГО ВЕКТОРА //InterConf. - 2021.
3. Akhmedov B. B., Rozikov J. Y., Muminov I. A. MATERIAL'S ELECTRONIC STRUCTURE //Zbiór artykułów naukowych recenzowanych. - С. 78.
4. Akhmedov B. et al. ABOUT WAVEFUNCTIONS IN LOW-DIMENSIONAL

SEMICONDUCTORS //Central Asian Problems of Modern Science and Education. – 2018.
– Т. 3. – №. 4. – С. 51-57.

5. Muminov I. A. et al. HETEROSTRUCTURES OF ANTIMONIDE-BASED SEMICONDUCTORS //Oriental renaissance: Innovative, educational, natural and social sciences. – 2021. – Т. 1. – №. 11. – С. 952-959.

6. Muminov I. A., Axmedov B. B., Sobirov U. B. N. O. G. L. TURLI SIMMETRIYAGA EGA BO'LGAN QATTIQ JISMLAR KRISTALL PANJARASI //Oriental renaissance: Innovative, educational, natural and social sciences. – 2022. – Т. 2. – №. 4. – С. 541-546.

7. Баходир Бахромович Ахмедов, Исломжон Араббоевич Муминов, Хусанбой Анваржон Угли Хошимов// Размерное Квантование В Потенциальной Яме Прямоугольной Формы 2022/4